Dec. 2001

三相感应电动机调速系统的建模与仿真。

李家荣,邓智泉(南京航空航天大学自动化学院,江苏南京 210016)

摘 要:系统而简略地阐述了异步电动机的矢量控制原理,并从异步电机的数学模型入手,选用 MATLAB/SIMULINK 软件对电机进行建模与仿真,其中重点介绍了电机、电压控制型变频器和磁链观测器等模型的建立,最后给出了仿真结果。

关键词:感应电动机; 调速系统; 仿真; 模型中图分类号:TM922 文献标识码:A

直流电动机因为其控制简单并能快速响应 而得到广泛应用,但直流电动机又有它固有的缺 点,如制造复杂、成本高需要定期维修、运行速度 受到限制,难以在防腐防爆等特殊要求的场合下 应用等。而交流电动机,结构简单,坚固耐用,便 于维修,近年来因为将矢量变换控制理论应用到 交流电动机的调速控制中,使交流系统的调速性 能完全可与直流系统相媲美。

1 异步电机的矢量控制理论[1-2]

电机调速的关键是控制转速,转速是通过转矩来改变的,直流电机之所以调速性能好就是因为它的转矩容易控制,而影响异步电动机转矩的因素很多,其转矩公式: $T = C_M \phi_m I_2 \cos \varphi_2$,式中 φ_2 为转子阻抗角。异步电动机的转矩和转子电流 I_2 ,气隙有效磁通 ϕ_m 有关,且与转速(转差率S)有关, I_2 和 ϕ_m 两个变量既不成直角又不是独立变量,转矩的这种复杂关系成为异步电动机的根本原因。所谓矢量控制,就是通过电机的统一理论和坐标变换理论,将异步电机的数学模型等效地转换成直流电机的数学模型,然后以控制直流电机的方法来控制交流电机。

由于异步电机通过三相平衡电流 i_A , i_B , i_C 与两相垂直的平衡电流 i_a , i_B 可产生等效的旋转 磁场,因而 i_A , i_B , i_C 与 i_α , i_β 间存在确定的矢量变换关系,以产生同样的旋转磁动势为准则,在三相坐标系下的定子电流 i_A , i_B , i_C ,通过三相/两相坐标变换,可以等效成两相静止坐标系下的交流电流 i_α , i_β ,再通过按转子磁场定向的旋转变换,可以等效成同步旋转坐标系下的直流电流 i_m , i_α , i_β , 再通过按转子的直流电流 i_m , i_α , i_β , 再通过按转子的直流电流 i_m , i_α , i_β , 再通过按转子格图画出来,便得组为统组,把上述等效关系用结构图画出来,便得到图1.从整体上看,A,B,C三相输入,转速 ω 输出,是一台异步电动机。从内部看,经过三相/两相变换和同步旋转变换,变成一台由 i_m , i_α 输入, ω 输出的直流电动机。

文章编号:1008-5092(2001)04-0001-04

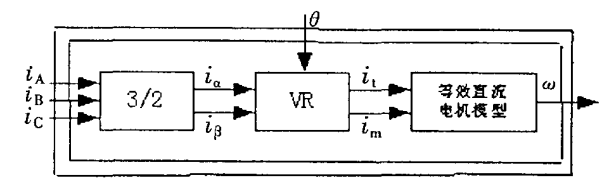


图 1 异步电机等效结构图

Fig. 1 Block diagram of induction motor 在功率不变的条件下^[3]:

$$\begin{bmatrix} i_{al} \\ i_{Bl} \end{bmatrix} = \begin{bmatrix} \sqrt{\frac{3}{2}} & 0 \\ \frac{1}{\sqrt{2}} & \sqrt{2} \end{bmatrix} \begin{bmatrix} i_{A} \\ i_{B} \end{bmatrix}$$

作者简介:李家荣(1970-),女,江苏盐城市人,盐城工学院讲师,南京航空航天大学硕士研究生,主要从事电机控制 类研究方为据

^{*} 收稿日期:2001-04-30

$$\begin{bmatrix} i_{ml} \\ i_{g} \end{bmatrix} = \begin{bmatrix} \cos \theta & \sin \theta \\ -\sin \theta & \cos \theta \end{bmatrix} \begin{bmatrix} i_{\alpha l} \\ i_{g l} \end{bmatrix}$$

图 2 给出了矢量控制系统的结构图,图中给定和反馈信号经过类似于直流调速系统的控制器,产生励磁电流的给定信号 i_m * 和电枢电流的给定信号 i_t * 和电枢电流的给定信号 i_t * ,经过旋转变换 VR 得到 i_a * 和 i_b * ,再经过两相/三相变换得到 i_A * , i_B * , i_C * .把这三个电流控制信号和由控制器直接得到频率控制信号 ω_1 加到带电流控制器的变频器上,就可以输出异步电动机调速所需要的三相变频电流。

在设计矢量控制系统时,可以认为,在控制器后面引入的旋转变换器 VR 与电机内部的旋转变换环节抵消,2/3 变换器与电机内部的 3/2 变换环节抵消,如果再忽略变频器可能产生的滞后,则图 2 中的大 部分可以完全删去,剩下的部分就和直流调速系统非常相似。

2 异步电机矢量变换控制系统和仿真模型

异步电机矢量变换控制结构图[3]如图3示。

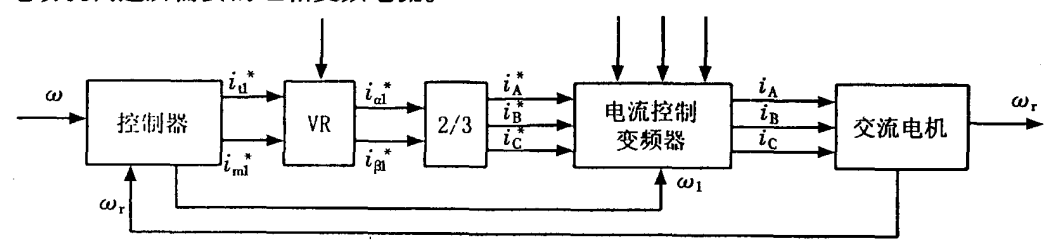
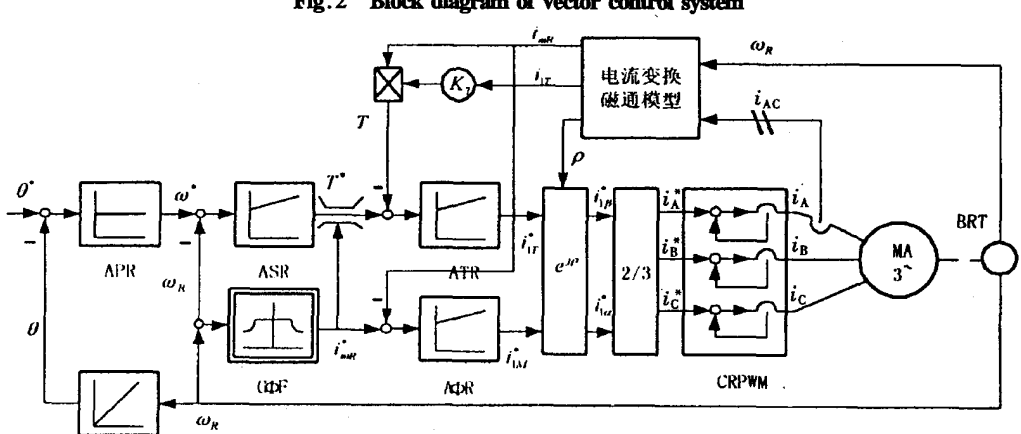


图 2 矢量控制系统结构图

Fig. 2 Block diagram of vector control system



ASR----速度调节器;ATR----转矩调节器;

GΦF---磁通函数发生器; AΦR---磁通调节器; BRT---速度传感器

图 3 异步电机矢量变换调速系统

Fig.3 Vector control drive system of induction motor

2.1 电机模型[4]

程为:

在静止 α、β 坐标系统中异步电机的状态方

$$\frac{d}{dt}\begin{bmatrix} \Psi_{ar} \\ \Psi_{\beta r} \\ i_{cs} \\ i_{fh} \end{bmatrix} = \begin{bmatrix} -\frac{R_{r}}{L_{r}} & -\omega_{r} & \frac{R_{r}L_{m}}{L_{r}} & 0 \\ +\omega_{r} & -\frac{R_{r}}{L_{r}} & 0 & \frac{R_{r}L_{m}}{L_{r}} \\ -\frac{L_{m}R_{r}}{hL_{r}} & \frac{L_{m}\omega_{r}}{h} & -\frac{R_{r}L_{r}^{2} + R_{r}L_{m}^{2}}{hL_{r}} & 0 \\ +\frac{L_{m}\omega_{r}}{h} & -\frac{L_{m}R_{r}}{hL_{r}} & 0 & -\frac{R_{r}L_{r}^{2} + R_{r}L_{m}^{2}}{hL_{r}} \end{bmatrix} \begin{bmatrix} \Psi_{ar} \\ \Psi_{\beta r} \\ i_{as} \\ i_{fh} \end{bmatrix} + \begin{bmatrix} 0 & 0 \\ 0 & 0 \\ \frac{L_{r}}{h} & 0 \\ 0 & \frac{L_{r}}{h} \end{bmatrix} (1)$$

万方数据

其中: R, ----定子转组电阻;

P——微分算子:

R,——转子转组电阻;

 $h = L_s * L_r - L_m * L_m$

L.— α 轴上定、转子等效绕组自感;

ω, 一特子角速度;

 L_r 一 β 轴上定、转子等效绕组自感;

 L_m — α , β 坐标系中定子与转子间同轴等效绕组间的互感。

电机的电磁转距方程为:

$$Te = Np \frac{L_m}{L_n} (\Psi_{\alpha r} i_{\beta r} - \Psi_{\beta r} i_{\alpha s}) \qquad (2)$$

机械转速方程为:

$$\frac{\mathrm{d}\omega_r}{\mathrm{d}t} = (Te - T_L - D_{\omega_r})/J \tag{3}$$

图 4 示出了电机的仿真模型,图中 $U_a \setminus U_b \setminus U_c$ 代表三相电源, T_L 代表负载, $i_A \setminus i_B \setminus i_C$ 代表三相定子电流, ω ,代表转子角速度。在电机模型中,三相压经坐标变换,转换成 $\alpha \setminus \beta$ 坐标下的两相电压 $U_{a1} \setminus U_{\beta 1}$,与检测出来的角速度 ω ,一起构成一个矢量,作为式(1)的已知量,通过 S—FUNCTION 计算出定子电流、转子磁链。根据式(2) 求出电磁转距 T_c ,再根据式(3)算出转子角速度 ω ,。

2.2 转子磁链观测模型

转子磁链观测模型如图 5 示。

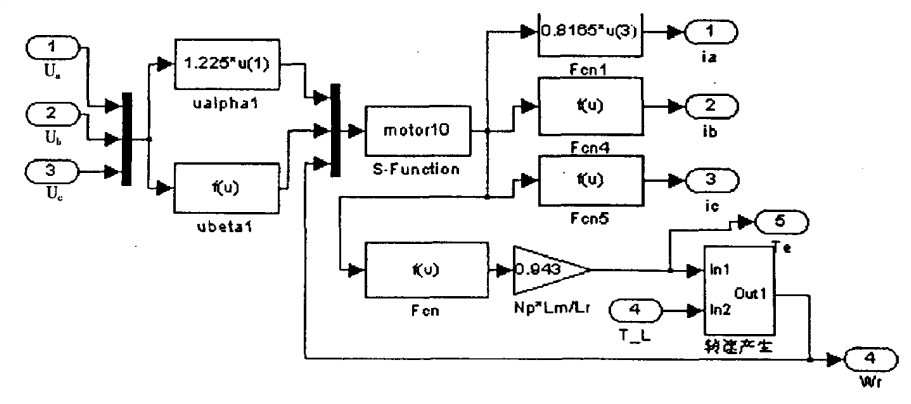


图 4 电机的仿真模型

Fig. 4 Simulation model of motor

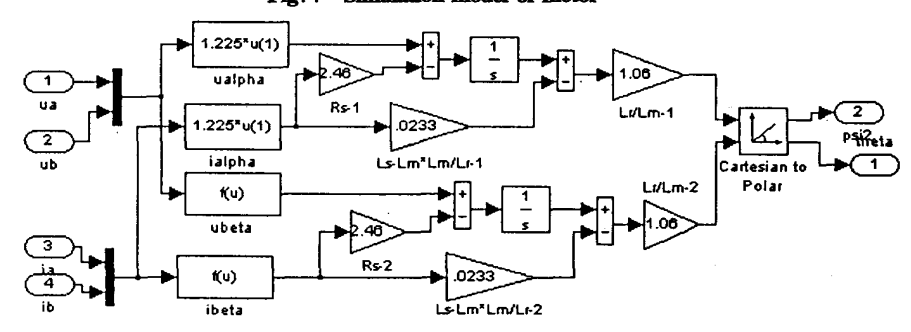


图 5 转子磁链观测模型

Fig. 5 Observor model of rotor flux

3 仿真结果

选用的电机参数如下:定子电阻 $R_1 = 2.46$ Ω ;转子电阻 $R_2 = 3.04$ Ω ;定子电感 $L_3 = 0.45694$ H;转子电感 $L_4 = 0.45694$ H;转动惯量 J = 0.002276 kg·m²;电机极对数 np = 1;负载转矩为 $T_1 = 5$ N·m。

选择的转速指定值为 2880 r/min,获得了转

速、定转子电流,转子磁链、电磁转矩等曲线,限于 篇幅,这里仅提供转速,定子电流,电磁转矩的仿 真曲线,如图 6。

4 结束语

本文系统而简略地介绍了异步电机矢量变换 调速系统的建模与仿真, 简要地陈述了 MATLAB/ SIMULINK 是一种优秀的系统仿真工具软件, 最后

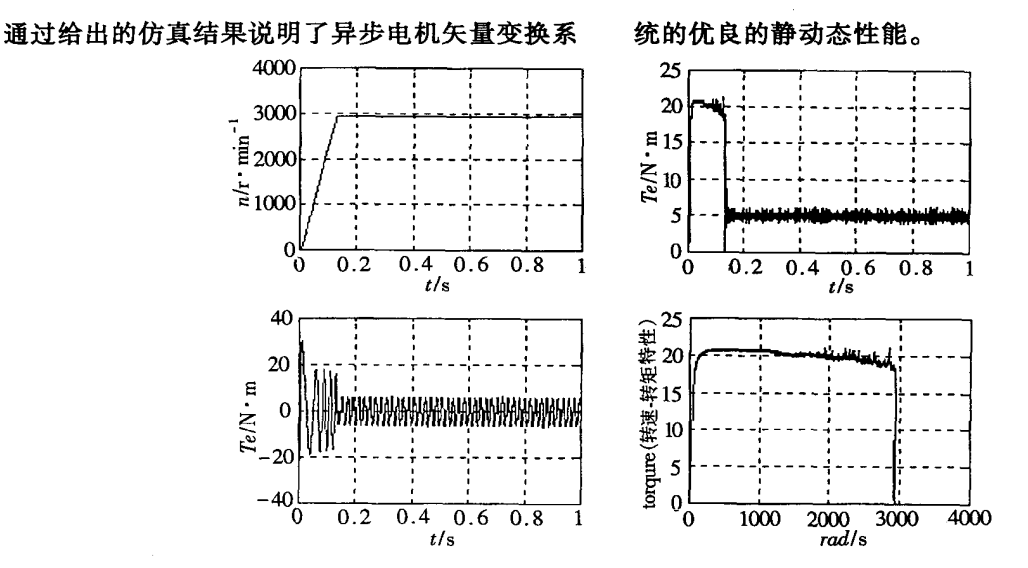


图 6 转速,定子电流,电磁转矩的仿真曲线

Fig. 6 simulation waveform of speed, stator current, torque

参考文献:

- [1] 张志涌.精通 MATLAB[M].北京:北京航空航天大学出版社,2000.
- [2] 陈伯时.电力拖动自动控制系统[M].北京:机械工业出版社,1997.
- [3] 王成元.矢量控制交流伺服驱动电动机[M].北京:机械工业出版社,1995.
- [4] 陈坚.交流电机数学模型及调速系统[M].北京:国防工业出版社,1989.

Establishing Model And Simulating Of Induction-motor Adjustable-system

LI Jia-rong, DENG Zhi-quan

(Department of Automatic control of Nanjing University of Aeronautics & Astronautics, Jiangsu Nanjing 210016, PRC)

Abstract: This paper introduces the vector control theory of asynchronous motor, and from maths model of induction motor to establish model and simulate for induction motor applied MATLAB/SIMULINK software, thereinto emphastically intruduce the model of motor, transducer and flux observer, at last the simulation results are present.

Keywords: Asynchronous motor; Adjustable system; Simulation; Model